

I-152 箱型断面の耐風応答に関する2, 3の基礎的研究

京都大学工学部 正員 工博 小西一郎
 京都大学工学部 正員 工博 白石成人
 京都大学工学部 学員 工修 ○松本 勝

§ 1. 概説

従来、箱型断面特に正方形断面を有する構造物の耐風応答に関する研究は、G. V. Parkinson や M. Novak 等数多くの研究者により行なわれている。これらの研究は主として構造物に作用する静的空気力の特性を動的空気力に適用し、主として Galloping 現象をとりえようとしている。今回までは、風洞実験結果を示し次に Navier-Stokes 方程式を用いて正方形断面周りの流れの様子を調べようとするものである。

§ 2. 風洞実験結果

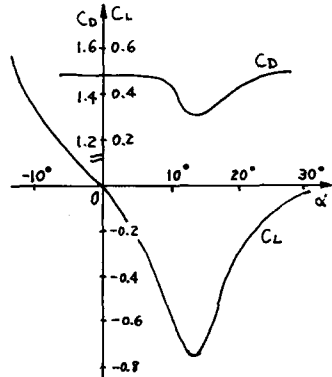
風洞は京都大学工学部土木教室のエッフェル型風洞を用い、模型は $20\text{ cm} \times 20\text{ cm}$ のアクリル樹脂製の2次元模型を用いて実験を行なった。

(i) 静的実験結果

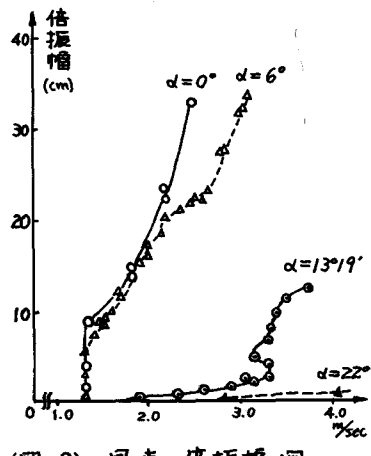
静的実験結果を(図-1)に示す。迎え角 13° 附近で抗力係数 C_D は急激に減少し、揚力係数 C_L は peak となる。これは $\alpha = 13^\circ$ で、edge で一たん剥離した空気流が再び正方形の側面にくっつき、側面上の圧力が物体を押しつける圧力になるためと思われる。

(ii) 動的実験結果

水平迎え角をパラメータとして風速-倍振幅の関係を(図-2)に示す。この図からわかるように $\alpha = 0^\circ$ のときいたわみ応答は最も敏感となり迎え角が大きくなるに従って敏感となる。 $\alpha = 0^\circ$ と $\alpha = 6^\circ$ でいたわみ応答にあまり顕著な差異は認められず、0発振の風速は完全に一致している。しかし $\alpha = 13^\circ 19'$ になると急激にいたわみ応答の様子は異なり、小さくなると共に Parkinson 等のいう非線形性が顕著に現われているのは興味深い。なお、この現象の解析も今後の課題の一つであろう。



(図-1) $C_L, C_D - \alpha$ 曲線



(図-2) 風速-倍振幅図

§ 3. Navier-Stokes 方程式による正方形断面周りの流れの解析

2次元流の Navier-Stokes 方程式は、無次元化された flow function ψ と vorticity w_1 により次

のように表わすことができる。

$$\frac{\partial \omega}{\partial t} + \frac{\partial \psi}{\partial y} \cdot \frac{\partial \omega}{\partial x} - \frac{\partial \psi}{\partial x} \cdot \frac{\partial \omega}{\partial y} = \frac{1}{R} \nabla^2 \omega, \quad \omega = \nabla^2 \psi \quad (1)$$

但し $\nabla^2 = \frac{\partial^2}{\partial x^2} + \frac{\partial^2}{\partial y^2}$, R ; Reynolds 数

式(1)を差分方程式に直して次式を得る。

$$\begin{aligned} \omega(I, J) &= \left\{ \frac{B^2}{2(A+B)} \right\} \{ \omega(I+1, J) + \omega(I-1, J) \} + \left\{ \frac{A^2}{2(A+B)} \right\} \{ \omega(I, J+1) \} \\ &\quad + \omega(I, J-1) + \left\{ \frac{ABR}{8(A+B)^2} \right\} \{ \psi(I+1, J) - \psi(I-1, J) \} \{ \omega(I, J+1) - \omega(I, J-1) \} \\ &\quad - \{ \psi(I, J+1) - \psi(I, J-1) \} \{ \omega(I+1, J) - \omega(I-1, J) \} \end{aligned} \quad (2)$$

$$\begin{aligned} \psi(I, J) &= \left\{ -A^2 B^2 / 2(A^2 + B^2) \right\} \omega(I, J) + \left\{ \frac{B^2}{2(A+B)^2} \right\} \{ \psi(I+1, J) + \psi(I-1, J) \} \\ &\quad + \left\{ A^2 / 2(A+B)^2 \right\} \{ \psi(I, J+1) + \psi(I, J-1) \} \end{aligned} \quad (3)$$

但し I, J は格子の奥を示す index であり。 A, B は x, y 方向の格子間隔を表す。

式(2), (3)を次の境界条件 [(図-3) 参照] のもとで解けよう。

[境界条件]

物体表面

$$\begin{cases} x = \pm a, |y| \leq a \\ y = \pm a, |x| \leq a \end{cases} \Rightarrow \begin{cases} \psi = 0 \\ \omega = r^2 \psi \end{cases}$$

対称軸

$$x = 0 \Rightarrow \begin{cases} \psi = 0 \\ \omega = 0 \end{cases}$$

物体表面より遠地

$$\begin{cases} z = z_\infty, y = y_\infty \\ \omega = 0 \end{cases} \Rightarrow \begin{cases} \psi = y_\infty \\ \omega = 0 \end{cases}$$

今回は格子点を 6236 個、格子間隔を 0.1×0.1 とし、最初に ω, ψ を適当な値に仮定し、くり返し計算により ω, ψ の収束解を得た。(図-4) は Reynolds 数 $R=40$ のときの結果を示す。この図より次のことが判明する。

① 流速 $= 0$ ($\psi = 0$) という流線は正方形

の前縁 edge で剥離し、約正方形の一辺の長さの 3 倍まで続いている。

② 正方形断面の前面に非常に小さな ψ の負の値となる。つまり弱い渦ができる。

③ vorticity ω については、流れの平行な表面に最も大きな値が生じる。

次に、Navier-Stokes 方程式を極座標 (r, θ) で表わし、更に $r = e^\theta$ なる

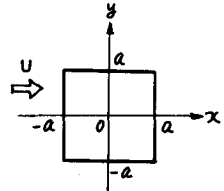
変換した後上記と同様にして差分方程式を求めることができる。更に係数比較より、係数の小さな項を省略することにより次式を得る。現在はこの近似式を用いて逆三角を有する場合についての計算を進行中である。

$$\omega(I, J) = \left\{ ABR / 16(A+B) \right\} \{ \{ \psi(I+1, J) - \psi(I-1, J) \} \{ \omega(I, J+1) - \omega(I, J-1) \} - \{ \psi(I, J+1) - \psi(I, J-1) \} \{ \omega(I+1, J) - \omega(I-1, J) \} \} \quad (4)$$

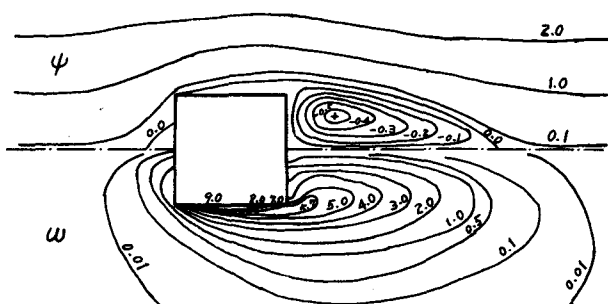
$$\psi(I, J) = \left(\frac{1}{A^2} \right) \{ \psi(I+1, J) + \psi(I-1, J) \} + \left(\frac{1}{B^2} \right) \{ \psi(I, J+1) + \psi(I, J-1) \} \quad (5)$$

最後に、今後の課題として振動状態における正方形断面の同様の解析を重要であると思われる。

参考文献 A.E. Hamielec, T.D. Rall "Numerical Studies of Viscous Flow around Circular Cylinders" *The Phys. of Fluids* Vol. 12, 1969



(図-3) 座標系



(図-4) Flow Func. & Vorticity Distribution (R=40)